

Analyse de séries temporelles

Eric J.M. Delhez

October 28, 2010

Concepts de base.

Concepts de base.

Statistiques descriptives

Autocorrélation
Auto-covariance

normalisée

Temps caractéristique
integral

Vent mesuré à 10 m

Auto-covariance
normalisée

Série de Fourier

Fourier Transform

DFT

Filtrage

Fin

Statistiques descriptives



Concepts de base.
Statistiques descriptives

Autocorrélation
Auto-covariance
normalisée

Temps caractéristique
integral
Vent mesuré à 10 m

Auto-covariance
normalisée

Série de Fourier

Fourier Transform

DFT

Filtrage

Fin

Valeurs mesurées $\{y_1, y_2, \dots, y_N\}$ aux temps (discrets) $\{t_1, t_2, \dots, t_N\}$

Hypothèse : $\Delta t = t_{j+1} - t_j = \text{constante.}$

■ Moyenne

$$\mu = \frac{1}{N} \sum_{i=1}^N y_i$$

■ Variance

$$\sigma^2 = \frac{1}{N} \sum_{i=1}^N [y_i - \mu]^2$$

■ Ecart-type σ

Autocorrélation



Concepts de base.

Statistiques descriptives

Autocorrélation

Auto-covariance

normalisée

Temps caractéristique
integral

Vent mesuré à 10 m

Auto-covariance

normalisée

Série de Fourier

Fourier Transform

DFT

Filtrage

Fin

■ Auto-corrélation

$$R_{yy}(\tau) = \frac{1}{N-k} \sum_{i=1}^{N-k} y_i y_{i+k}$$
 où $\tau = k\Delta t$

■ Auto-covariance

$$C_{yy}(\tau) = \frac{1}{N-k} \sum_{i=1}^{N-k} (y_i - \mu)(y_{i+k} - \mu)$$

$$C_{yy}(0) = \sigma^2 = R_{yy}(0) + \mu^2$$

Auto-covariance normalisée



Concepts de base.

Statistiques descriptives

Autocorrélation

Auto-covariance
normalisée

Temps caractéristique
integral

Vent mesuré à 10 m

Auto-covariance
normalisée

Série de Fourier

Fourier Transform

DFT

Filtrage

Fin

$$\rho_{yy}(\tau) = \frac{C_{yy}(\tau)}{\sigma^2} \in [-1, 1]$$

■ Bruit blanc :

$$R_{\epsilon\epsilon}(\tau) = \sigma_0^2 \rho_{\epsilon\epsilon}(\tau) = \begin{cases} \sigma_0^2 & \text{pour } \tau = 0 \\ 0 & \text{sinon.} \end{cases}$$

■ Signal harmonique $y_i = A \sin \frac{2\pi i \Delta t}{T}$

$$\sigma^2 = \frac{1}{2}, \quad \rho_{yy}(\tau) = \cos \frac{2\pi\tau}{T}$$

Temps caractéristique intégral

Concepts de base.

Statistiques descriptives

Autocorrélation

Auto-covariance
normalisée

Temps caractéristique
intégral

Vent mesuré à 10 m

Auto-covariance

normalisée

Série de Fourier

Fourier Transform

DFT

Filtrage

Fin

$$T^* = \frac{\Delta\tau}{2} \sum_{i=0}^{N'} [\rho_{yy}(\tau_i) + \rho_{yy}(\tau_{i+1})]$$
$$= \frac{\Delta\tau}{2\sigma^2} \sum_{i=0}^{N'} [C_{yy}(\tau_i) + C_{yy}(\tau_{i+1})]$$

$$\approx \int_0^\infty \rho_{yy}(\tau) d\tau$$

si la somme converge.

Si non, limiter au premier zéro de ρ .

T^* = Horizon de prévision



Vent mesuré à 10 m



Concepts de base.

Statistiques descriptives

Autocorrélation
Auto-covariance
normalisée

Temps caractéristique
integral

Vent mesuré à 10 m

Auto-covariance
normalisée

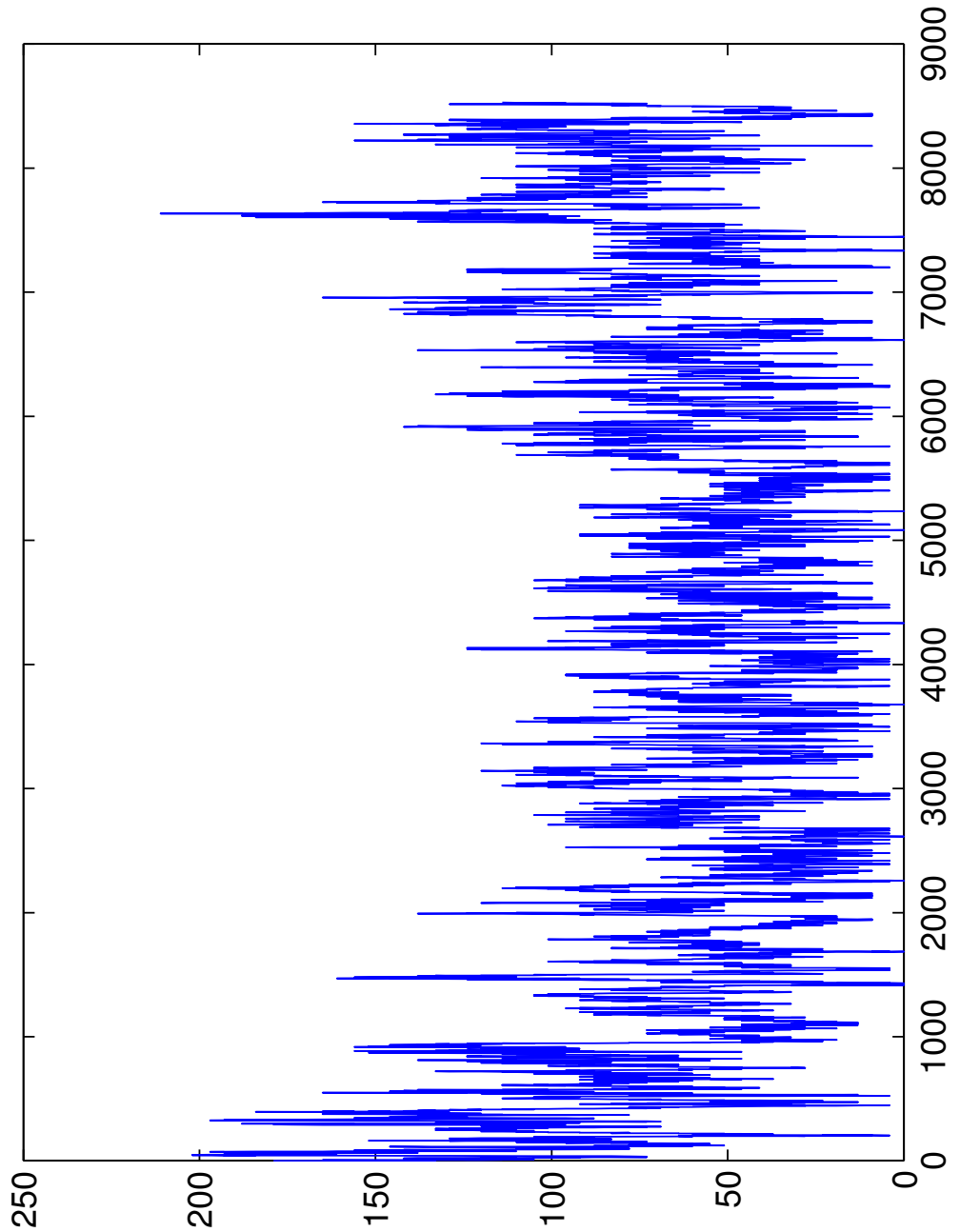
Série de Fourier

Fourier Transform

DFT

Filtrage

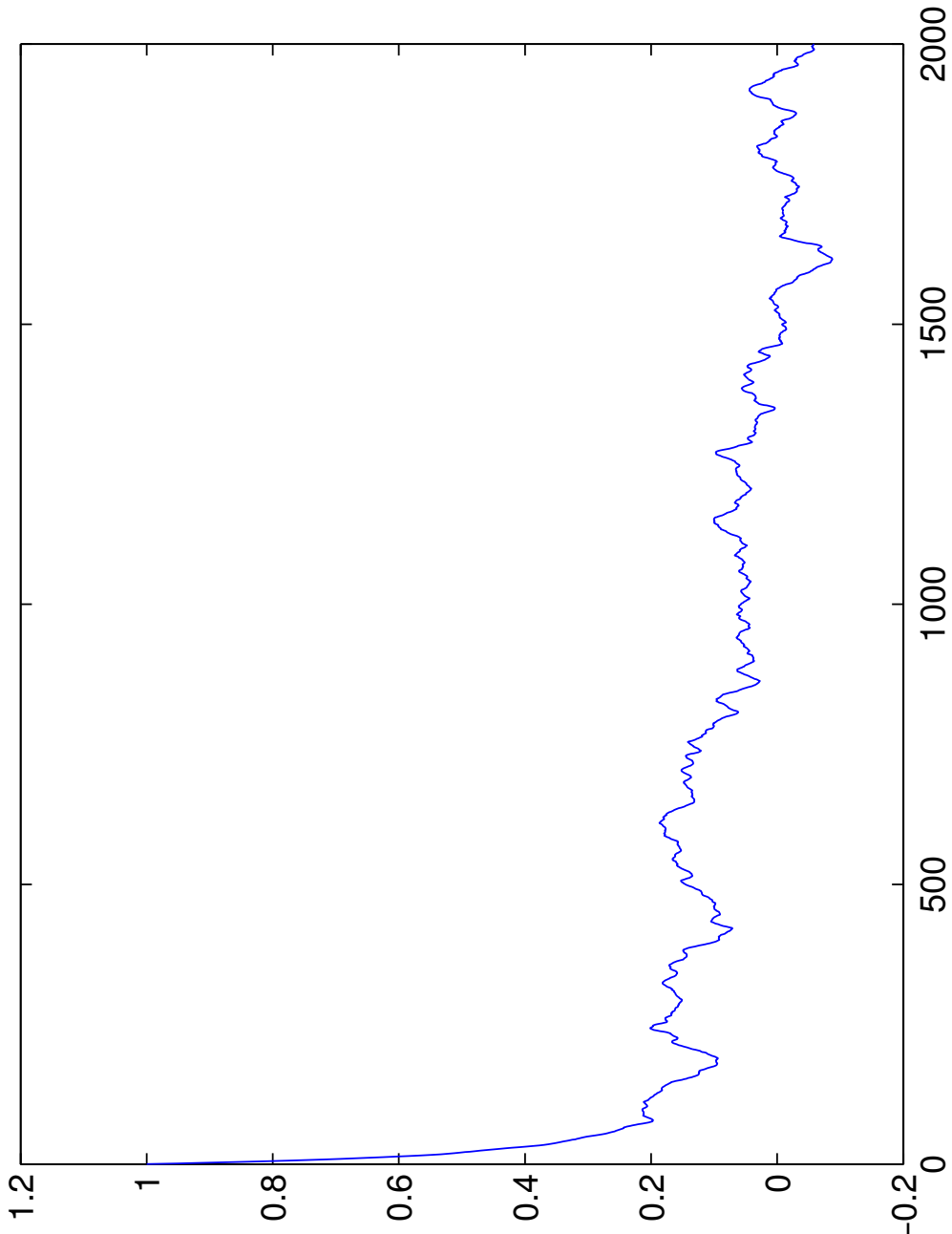
Fin



Durée

= 1 mois, $\Delta t = 5$ minutes

Auto-covariance normalisée



$\Rightarrow T^* \approx 12$ heures

<u>Concepts de base.</u>
Statistiques descriptives
Autocorrélation
Auto-covariance normalisée
Temps caractéristique intégral
Vent mesuré à 10 m
<u>Auto-covariance normalisée</u>
<u>Série de Fourier</u>
<u>Fourier Transform</u>
<u>DFT</u>
<u>Filtrage</u>
<u>Fin</u>

Série de Fourier

Concepts de base.

Série de Fourier

Série de Fourier

Fonctions orthogonales

Coefficients de Fourier

Exemple

Fourier Transform

DFT

Filtrage

Fin



Série de Fourier



Concepts de base.

Série de Fourier

Fonctions orthogonales

Coefficients de Fourier

Exemple

Fourier Transform

DFT

Filtrage

Fin

Si $f(t)$ est de période T ,

$$f(t) = \frac{a_0}{2} + \sum_{k=1}^{\infty} \left[a_k \cos\left(\frac{2\pi k t}{T}\right) + b_k \sin\left(\frac{2\pi k t}{T}\right) \right]$$

où a_k, b_k sont les coefficients de Fourier

Parseval :

$$\frac{1}{T} \int_{t_0}^{t_0+T} |f(t)|^2 dt = \frac{a_0^2}{4} + \frac{1}{2} \sum_{k=1}^{\infty} (a_k^2 + b_k^2)$$

Décomposition en modes indépendants

Fonctions orthogonales



Concepts de base.

Série de Fourier

Série de Fourier

Fonctions orthogonales

Coefficients de Fourier

Exemple

Fourier Transform

DFT

Filtrage

Fin

$$\frac{1}{T} \int_{t_0}^{t_0+T} \sin\left(\frac{2\pi kt}{T}\right) \cos\left(\frac{2\pi\ell t}{T}\right) dt = 0 \quad \forall k, \ell$$

$$\frac{1}{T} \int_{t_0}^{t_0+T} \cos\left(\frac{2\pi kt}{T}\right) \cos\left(\frac{2\pi\ell t}{T}\right) dt = 0 = \begin{cases} 1 & \text{si } k = \ell = 0 \\ \frac{1}{2} & \text{si } k = \ell > 0 \\ 0 & \text{si } k \neq \ell \end{cases}$$

$$\frac{1}{T} \int_{t_0}^{t_0+T} \sin\left(\frac{2\pi kt}{T}\right) \sin\left(\frac{2\pi\ell t}{T}\right) dt = 0 = \begin{cases} 0 & \text{si } k = \ell = 0 \\ \frac{1}{2} & \text{si } k = \ell > 0 \\ 0 & \text{si } k \neq \ell \end{cases}$$

Coefficients de Fourier



Concepts de base.

Série de Fourier

Série de Fourier

Fonctions orthogonales

Coefficients de Fourier

Exemple

Fourier Transform

DFT

Filtrage

Fin

$$\begin{aligned} \int_{t_0}^{t_0+T} f(t) \sin\left(\frac{2\pi\ell t}{T}\right) dt &= \frac{a_0}{2} \int_{t_0}^{t_0+T} \sin\left(\frac{2\pi\ell t}{T}\right) dt \\ &\quad + \sum_{k=1}^{\infty} a_k \int_{t_0}^{t_0+T} \cos\left(\frac{2\pi k t}{T}\right) \sin\left(\frac{2\pi\ell t}{T}\right) dt \\ &\quad + \sum_{k=1}^{\infty} b_k \int_{t_0}^{t_0+T} \sin\left(\frac{2\pi k t}{T}\right) \sin\left(\frac{2\pi\ell t}{T}\right) dt \\ &= b_\ell \frac{T}{2} \end{aligned}$$

$$\left\{ \begin{array}{l} a_k = \frac{2}{T} \int_{t_0}^{t_0+T} f(t) \cos\left(\frac{2\pi k t}{T}\right) dt \\ b_k = \frac{2}{T} \int_{t_0}^{t_0+T} f(t) \sin\left(\frac{2\pi k t}{T}\right) dt \end{array} \right.$$

Exemple

[Concepts de base.](#)

[Série de Fourier](#)

[Série de Fourier](#)

[Fonctions orthogonales](#)

[Coefficients de Fourier](#)

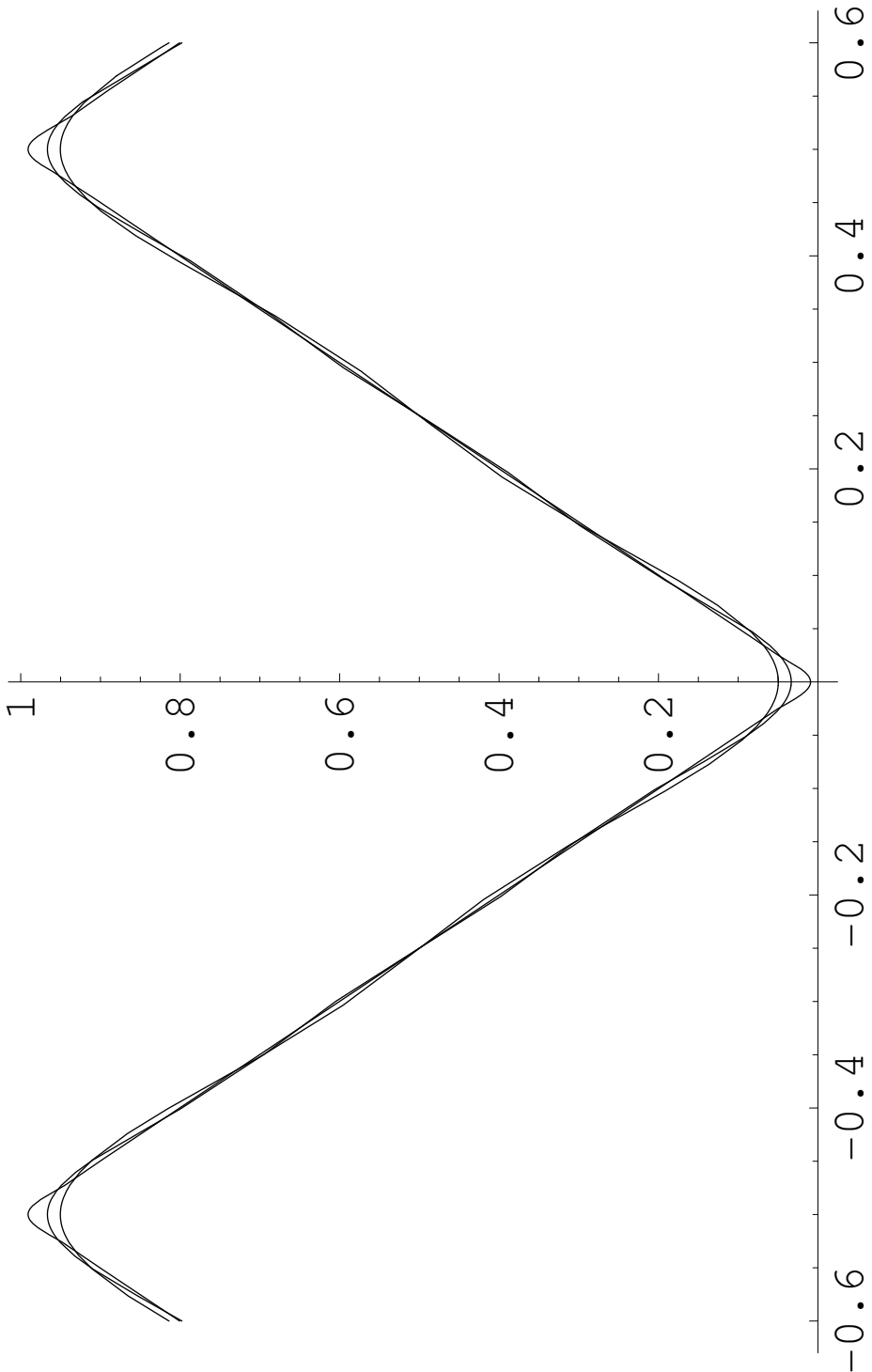
[Exemple](#)

[Fourier Transform](#)

[DFT](#)

[Filtrage](#)

[Fin](#)



$$f(t) = \frac{1}{2} - \sum_{k=0}^{\infty} \frac{4}{\pi^2(2k+1)^2} \cos((2k+1)\omega t) \quad \text{où} \quad \omega = \frac{2\pi}{T}$$





Concepts de base.

Série de Fourier

Fourier Transform

Lien avec les séries

Transformée de Fourier

Cas réel

Parseval

DFT

Filtrage

Fin

Fourier Transform

Lien avec les séries



Concepts de base.

Série de Fourier

Fourier Transform

Lien avec les séries

Transformée de Fourier

Cas réel

Parseval

DFT

Filtrage

Fin

Spectre de série de Fourier d'une fonction de période T

$$0, \quad \frac{2\pi}{T}, \quad \frac{4\pi}{T}, \quad \frac{6\pi}{T}, \quad \frac{8\pi}{T}, \quad \dots$$

Si $T \rightarrow \infty$, on obtient la Transformée Inverse de Fourier

$$f(t) = \frac{1}{\sqrt{2\pi}} \int_{-\infty}^{\infty} \tilde{f}(\omega) e^{i\omega t} d\omega$$

Semblable à

$$f(t) = \frac{a_0}{2} + \sum_{k=1}^{\infty} \left[a_k \cos\left(\frac{2\pi k t}{T}\right) + b_k \sin\left(\frac{2\pi k t}{T}\right) \right]$$

Rappel :

$$e^{i\omega t} = \cos \omega t + i \sin \omega t$$

Transformée de Fourier



Concepts de base.

Série de Fourier

Fourier Transform

Lien avec les séries

Transformée de Fourier

Cas réel
Parseval

Transformée de Fourier :

DFT

Filtrage

Fin

$$f(t) = \frac{1}{\sqrt{2\pi}} \int_{-\infty}^{\infty} \tilde{f}(\omega) e^{i\omega t} d\omega$$

$$\tilde{f}(\omega) = \frac{1}{\sqrt{2\pi}} \int_{-\infty}^{\infty} f(t) e^{-i\omega t} dt$$

semblable à

$$\begin{cases} a_k = \frac{2}{T} \int_{t_0}^{t_0+T} f(t) \cos\left(\frac{2\pi kt}{T}\right) dt \\ b_k = \frac{2}{T} \int_{t_0}^{t_0+T} f(t) \sin\left(\frac{2\pi kt}{T}\right) dt \end{cases}$$

Cas réel



Concepts de base.

Série de Fourier

Fourier Transform

Lien avec les séries

Transformée de Fourier

Cas réel

Parseval

DFT

Filtrage

Fin

Si $f(t)$ est réelle,

$$\begin{aligned}\tilde{f}(-\omega) &= \frac{1}{\sqrt{2\pi}} \int_{-\infty}^{\infty} f(t) e^{-i\omega t} dt \\ &= \frac{1}{\sqrt{2\pi}} \int_{-\infty}^{\infty} f(t) e^{i\omega t} dt = \overline{\tilde{f}(\omega)}\end{aligned}$$

$$\begin{aligned}\overline{\tilde{f}(\omega)} e^{-i\omega t} + \tilde{f}(\omega) e^{i\omega t} &= \overline{\tilde{f}(\omega) e^{i\omega t}} + \tilde{f}(\omega) e^{i\omega t} \\ &= 2\Re[\tilde{f}(\omega) e^{i\omega t}] = 2\Re[\tilde{f}(\omega)] \cos\omega t - 2\Im[\tilde{f}(\omega)] \sin\omega t \\ &= 2|\tilde{f}(\omega)| \cos(\omega t + \phi)\end{aligned}$$

$$f(t) = \sqrt{\frac{2}{\pi}} \int_0^{\infty} |\tilde{f}(\omega)| \cos(\omega t + \arg \tilde{f}(\omega)) d\omega$$

Parseval



Concepts de base.

Série de Fourier

Fourier Transform

Lien avec les séries

Transformée de Fourier

Cas réel

Parseval

$$\int_{-\infty}^{\infty} |f(t)|^2 dt = \int_{-\infty}^{\infty} |\tilde{f}(\omega)|^2 d\omega$$

DFT

Filtrage

Fin

Les modes de Fourier sont indépendants et leur contributions à l'énergie totale s'additionnent.



Concepts de base.

Série de Fourier

Fourier Transform

DFT

Transformée de Fourier

Discrete

Cas réel

Paramètres critiques

Parseval

Exemple

Exemple - DFT

Filtrage

Fin

DFT

Transformée de Fourier Discrète



Concepts de base.

Série de Fourier

Fourier Transform

DFT

Transformée de Fourier Discrète

Cas réel

Paramètres critiques

Parseval

Exemple

Exemple - DFT

Filtrage

Fin

Données discrètes x_0, x_1, \dots, x_{N-1} aux temps $t_j = t_0 + j\Delta t$

$$X_k = \frac{1}{\sqrt{N}} \sum_{j=0}^{N-1} x_j e^{-\frac{2\pi i}{N} k j}, \quad k = 0, 1, \dots, N-1$$

Transformée de Fourier Discrète Inverse

$$x_j = \frac{1}{\sqrt{N}} \sum_{k=0}^{N-1} X_k e^{\frac{2\pi i}{N} k j}, \quad j = 0, 1, \dots, N-1$$

Cas réel



Concepts de base.

Série de Fourier

Fourier Transform

DFT

Transformée de Fourier
Discrete

Cas réel

Paramètres critiques

Parseval

Exemple

Exemple - DFT

Filtrage

Fin

Si x_j sont réels,

$$X_k = \overline{X_{N-k}}$$

et $X_0, X_1, X_2, \dots, X_{N/2}$ suffisent pour représenter le signal initial :

$$x(t) = \frac{1}{\sqrt{N}} \left[X_0 + 2 \sum_{k=1}^{N/2-1} |X_k| \cos(k\omega_1 t + \arg X_k) + X_{N/2} \cos \frac{N\omega_1 t}{2} \right]$$

■ X_0 : moyenne du signal

■ X_k : signal de pulsation

$$\omega_k = k\omega_1 \quad k = 1, 2, \dots, N/2$$

où

$$\omega_1 = \frac{2\pi}{N\Delta t} = \text{pulsation fondamentale}$$

Paramètres critiques



Concepts de base.

Série de Fourier

Fourier Transform

DFT

Transformée de Fourier

Discrète

Cas réel

Paramètres critiques

Parseval

Exemple

Exemple - DFT

Filtrage

Fin

Spectre :

$$\omega_1 = \frac{2\pi}{N\Delta t}, \quad \omega_k = k\omega_1 \quad k = 1, 2, \dots, N/2$$

- Fréquence de Nyquist : $\omega_{\max} = \frac{\pi}{\Delta t}$
- ⇒ Si Δt diminue, on décrit de plus hautes fréquences.
- Résolution spectrale : $\Delta\omega = \frac{2\pi}{N\Delta t}$
- ⇒ Si $N\Delta t$ augmente, la résolution augmente.

Parseval



Concepts de base.

Série de Fourier

Fourier Transform

DFT

Transformée de Fourier

Discrete

Cas réel

Paramètres critiques

Parseval

Exemple

Exemple - DFT

Filtrage

Fin

$$\frac{1}{\sqrt{N}} \sum_{j=0}^{N-1} |x_j|^2 = \frac{1}{\sqrt{N}} \sum_{k=0}^{N-1} |X_k|^2$$

Données réelles décrites par un nombre pair de données,

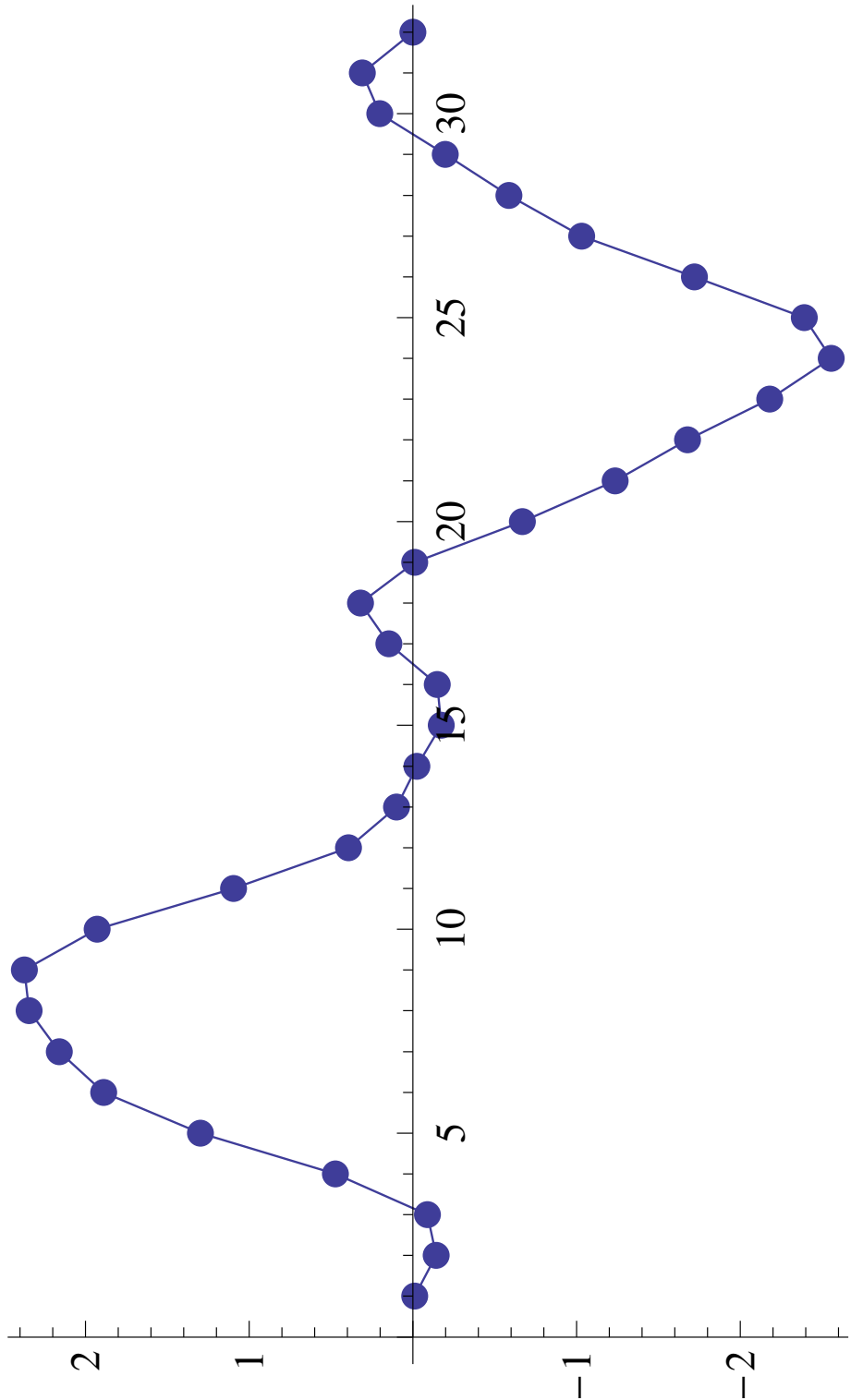
$$\frac{1}{\sqrt{N}} \sum_{j=0}^{N-1} |x_j|^2 = \frac{1}{\sqrt{N}} \left[|X_0|^2 + 2 \sum_{k=1}^{N/2-1} |X_k|^2 + |X_{N/2}|^2 \right]$$

Densité spectrale (normalisation par $\Delta\omega$) :

$$S(\omega_k) = \frac{2|X_k|^2}{\Delta\omega}, \quad k = 1, 2, \dots$$

Exemple

<u>Concepts de base.</u>
<u>Série de Fourier</u>
<u>Fourier Transform</u>
<u>DFT</u>
<u>Transformée de Fourier</u>
Discreté
Cas réel
Paramètres critiques
Parseval
Exemple
<u>Exemple - DFT</u>
<u>Filtrage</u>
<u>Fin</u>

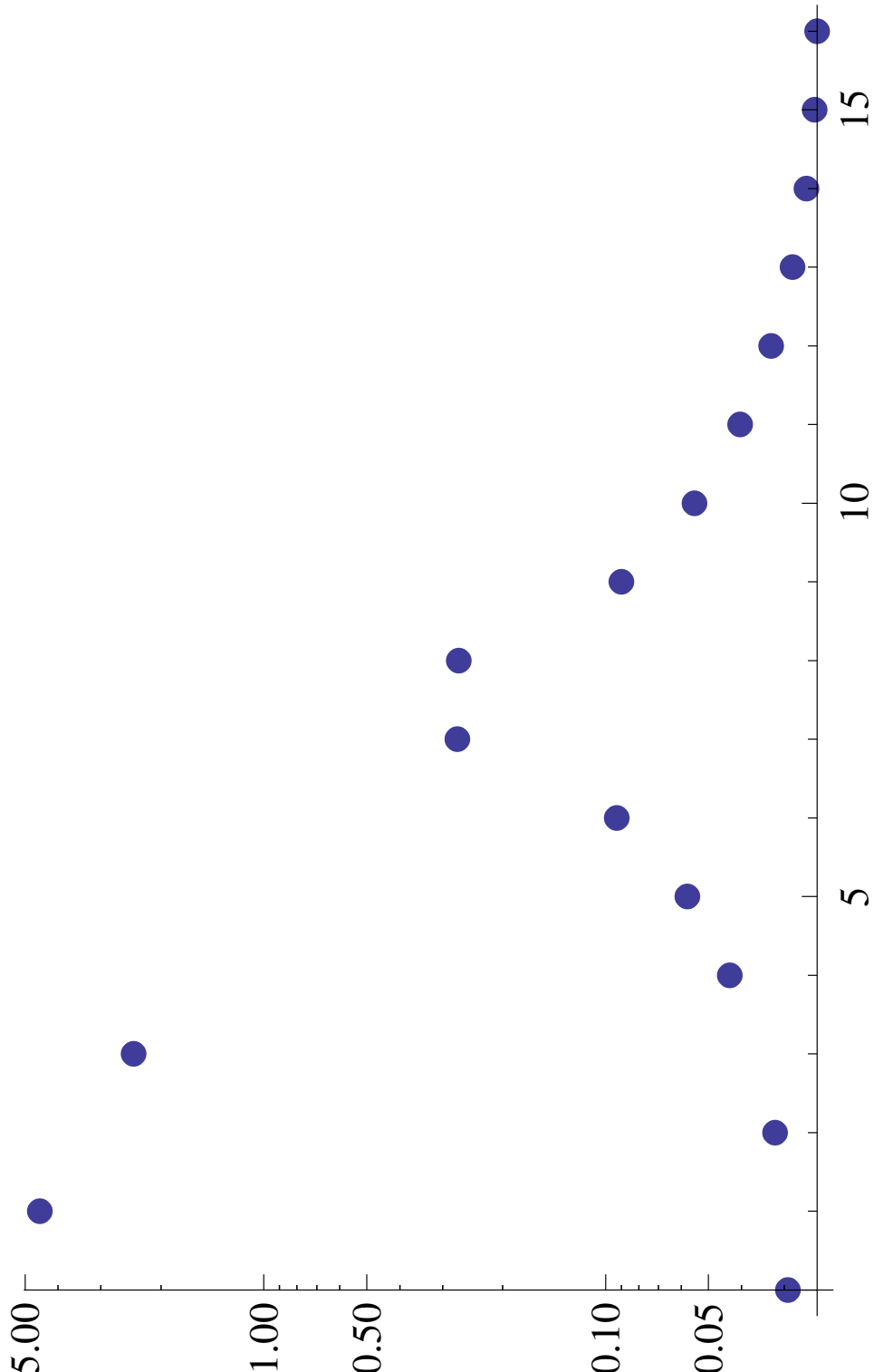


Durée = 12 s, $\Delta t = 0.375\text{s}$

Exemple - DFT



<u>Concepts de base.</u>
<u>Série de Fourier</u>
<u>Fourier Transform</u>
<u>DFT</u>
<u>Transformée de Fourier</u>
Discreté
Cas réel
Paramètres critiques
Parseval
Exemple
Exemple - DFT
<u>Filtrage</u>
<u>Fin</u>



$$T_1 = T = 12 \text{ s}, \quad T_3 = 4 \text{ s},$$

$$T_7 = 12/7 \text{ s}, \quad T_8 = 12/8 \text{ s}$$

Filtrage

Concepts de base.

Série de Fourier

Fourier Transform

DFT

Filtrage

Principes généraux

Fonction de filtrage

Réponse fréquentielle

Moyenne glissante

Cas discret

Moyenne glissante

Filtres bionomial

Filtre gaussien

Réponse fréquentielle

Convolution

Filtre idéal

Fenêtre de Hamming

Exemple

Fin

Principes généraux



Concepts de base.

Série de Fourier

Fourier Transform

DFT

Filtrage

Principes généraux

Fonction de filtrage

Réponse fréquentielle

Moyenne glissante

Cas discret

Moyenne glissante

Filtres bionomial

Filtre gaussien

Réponse fréquentielle

Convolution

Filtre idéal

Fenêtre de Hamming

Exemple

Fin

Pour filtre $f(t)$,

$$f_w(t) = \int_{-\infty}^{\infty} f(t-\tau)w(\tau)d\tau$$

Exemple : moyenne glissante

$$w(\tau) = \begin{cases} \frac{1}{T} & \text{si } |\tau| < \frac{T}{2} \\ 0 & \text{sinon} \end{cases}$$

Fonction de filtrage



Concepts de base.

Série de Fourier

Fourier Transform

DFT

Filtrage

Principes généraux

Fonction de filtrage

Réponse fréquentielle

Moyenne glissante

Cas discret

Moyenne glissante

Filtres bionomial

Filtre gaussien

Réponse fréquentielle

Convolution

Filtre idéal

Fenêtre de Hamming

Exemple

Fin

$$f_w(t) = \int_{-\infty}^{\infty} f(t - \tau) w(\tau) d\tau$$

■ Respect de la moyenne : $\int_{-\infty}^{\infty} w(\tau) d\tau = 1$

■ Respect de la phase : $w(\tau) = w(-\tau)$

Soit $f(t) = A \cos \omega t$,

$$f_w(t) = A \int_{-\infty}^{\infty} \cos [\omega(t - \tau)] w(\tau) d\tau$$

$$\begin{aligned} &= A \cos \omega t \int_{-\infty}^{\infty} w(\tau) \cos \omega \tau d\tau + A \sin \omega t \int_{-\infty}^{\infty} w(\tau) \sin \omega \tau d\tau \\ &= A \cos \omega t \int_{-\infty}^{\infty} w(\tau) \cos \omega \tau d\tau \end{aligned}$$

Réponse fréquentielle



Concepts de base.

Série de Fourier

Fourier Transform

DFT

Filtrage

Principes généraux

Fonction de filtrage

Réponse fréquentielle

Moyenne glissante

Cas discret

Moyenne glissante

Filtres bionomial

Filtre gaussien

Réponse fréquentielle

Convolution

Filtre idéal

Fenêtre de Hamming

Exemple

Fin

$$\begin{aligned}f_w(t) &= A \cos \omega t \int_{-\infty}^{\infty} w(\tau) \cos \omega \tau d\tau \\&= f(t)h(\omega)\end{aligned}$$

où

$$h(\omega) = \int_{-\infty}^{\infty} w(\tau) \cos \omega \tau d\tau$$

Cas de la moyenne glissante :

$$h(\omega) = \frac{1}{T} \int_{-T/2}^{T/2} \cos \omega \tau d\tau = \frac{2}{\omega T} \sin \frac{\omega T}{2}$$

Moyenne glissante

Concepts de base.

Série de Fourier

Fourier Transform

DFT

Filtrage

Principes généraux

Fonction de filtrage

Réponse fréquentielle

Moyenne glissante

Cas discret

Moyenne glissante

Filtres bionomial

Filtre gaussien

Réponse fréquentielle

Convolution

Filtre idéal

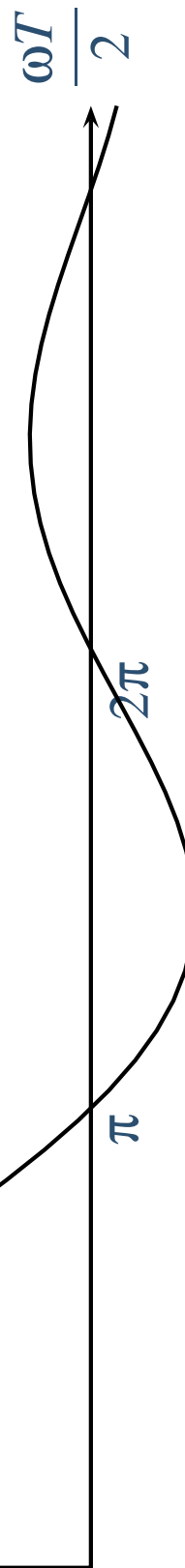
Fenêtre de Hamming

Exemple

Fin

$h(\omega)$

1



Gain du filtre constitué par une moyenne glissante de période T .

Cas discret



Concepts de base.

Série de Fourier

Fourier Transform

DFT

Filtrage

Principes généraux

Fonction de filtrage

Réponse fréquentielle

Moyenne glissante

Cas discret

Moyenne glissante

Filtres bionomial

Filtre gaussien

Réponse fréquentielle

Convolution

Filtre idéal

Fenêtre de Hamming

Exemple

Fin

Données x_j aux temps $t_j = t_0 + j\Delta t$.

$$f_j = \sum_{k=-N}^N w_k x_{j+k}$$

où w_k ($k = -N, \dots, N$) sont les poids du filtre.

■ Respect de la moyenne : $\sum_{k=-N}^N w_k = 1$

■ Symétrie : $w_{-k} = w_k, \quad k = 1, \dots, N$

Réponse fréquentielle :

$$h(\omega) = w_0 + 2 \sum_{k=1}^N w_k \cos(k\omega\Delta t)$$

Moyenne glissante

Concepts de base.

Série de Fourier

Fourier Transform

DFT

Filtrage

Principes généraux

Fonction de filtrage

Réponse fréquentielle

Moyenne glissante

Cas discret

Moyenne glissante

Filtres bionomial

Filtre gaussien

Réponse fréquentielle

Convolution

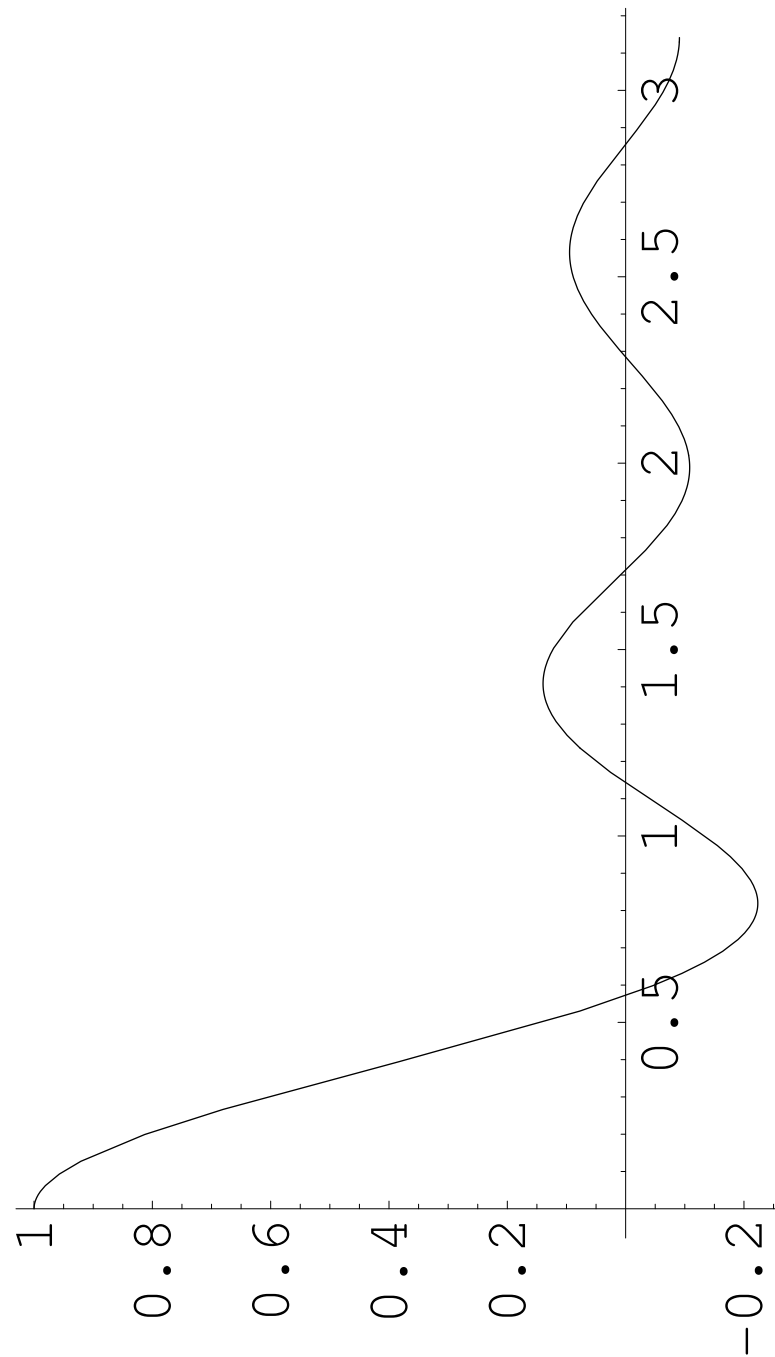
Filtre idéal

Fenêtre de Hamming

Exemple

Fin

$$w_{-N} = w_{-N+1} = \cdots = w_{-1} = w_0 = w_1 = \cdots = w_{N-1} = w_N = \frac{1}{2N+1}$$



Réponse fréquentielle en fonction de $\omega\Delta t$ (Cas particulier $N = 5$).

Filtres bionomial



Concepts de base.

Série de Fourier

Fourier Transform

DFT

Filtrage

Principes généraux

Fonction de filtrage

Réponse fréquentielle

Moyenne glissante

Cas discret

Moyenne glissante

Filtres bionomial

Filtre gaussien

Réponse fréquentielle

Convolution

Filtre idéal

Fenêtre de Hamming

Exemple

Fin

$$w_k = \frac{1}{2^{2N}} \frac{(2N)!}{(N-k)!(N+k)!}, \quad k = -N, -N+1, \dots, -1, 0, 1, \dots, N$$

- Filtrage
- Pour amortir de 50 % les composantes de période T , choisir N comme l'entier le plus proche de $(T/\Delta t)^2/12$
- Supprimer les poids trop petits ($< 5\%$ du max)
- Renormaliser pour que $\sum_k w_k = 1$

Filtre gaussien



Concepts de base.

Série de Fourier

Fourier Transform

DFT

Filtrage

Principes généraux

Fonction de filtrage

Réponse fréquentielle

Moyenne glissante

Cas discret

Moyenne glissante

Filtres bionomial

Filtre gaussien

Réponse fréquentielle

Convolution

Filtre idéal

Fenêtre de Hamming

Exemple

Fin

$$w_k = \frac{1}{\sigma\sqrt{2\pi}} \exp\left[-\frac{k^2\Delta t^2}{2\sigma^2}\right] \quad k = -N, -N+1, \dots, -1, 0, 1, \dots, N$$

- Pour amortir de 50 % les composantes de période T , choisir $\sigma = T/6$.
- Supprimer les poids trop petits ($< 5\%$ du max).
- Renormaliser pour que $\sum_k w_k = 1$.

Réponse fréquentielle



Concepts de base.

Série de Fourier

Fourier Transform

DFT

Filtrage

Principes généraux

Fonction de filtrage

Réponse fréquentielle

Moyenne glissante

Cas discret

Moyenne glissante

Filtres binomial

Filtre gaussien

Réponse fréquentielle

Convolution

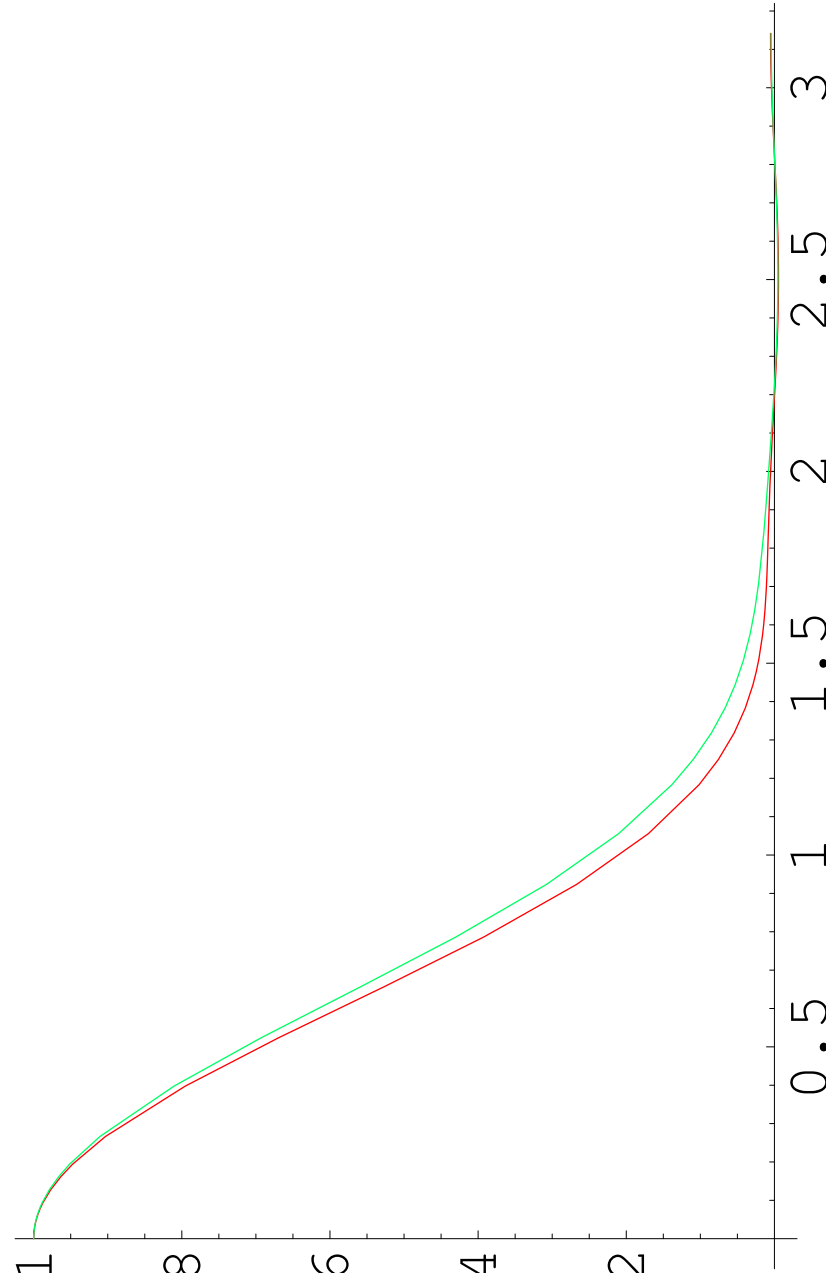
Filtre idéal

Fenêtre de Hamming

Exemple

Fin

Données annuelles, objectif $T = 10$ ans ($\omega \Delta t = 2\pi/10 \approx 0.63$)



Réponse fréquentielle des filtres binomial (en rouge) et gaussien (en vert).

Convolution



Concepts de base.

Série de Fourier

Fourier Transform

DFT

Filtrage

Principes généraux

Fonction de filtrage

Réponse fréquentielle

Moyenne glissante

Cas discret

Moyenne glissante

Filtres bionomial

Filtre gaussien

Réponse fréquentielle

Convolution

Filtre idéal

Fenêtre de Hamming

Exemple

Fin

$$f_w(t) = \int_{-\infty}^{\infty} f(t - \tau) w(\tau) d\tau$$

$$\begin{aligned}\tilde{f}_w(\omega) &= \frac{1}{\sqrt{2\pi}} \int_{-\infty}^{\infty} \left\{ \int_{-\infty}^{\infty} f(t - \tau) w(\tau) d\tau \right\} e^{-i\omega t} dt \\ &= \frac{1}{\sqrt{2\pi}} \int_{-\infty}^{\infty} \left\{ \int_{-\infty}^{\infty} f(t - \tau) e^{-i\omega t} dt \right\} w(\tau) d\tau\end{aligned}$$

Posant $t' = t - \tau$, il vient

$$\begin{aligned}\tilde{f}_w(\omega) &= \frac{1}{\sqrt{2\pi}} \int_{-\infty}^{\infty} \left\{ \int_{-\infty}^{\infty} f(t') e^{-i\omega t'} dt' \right\} w(\tau) e^{-i\omega \tau} d\tau \\ &= \frac{1}{\sqrt{2\pi}} \int_{-\infty}^{\infty} f(t') e^{-i\omega t'} dt' \int_{-\infty}^{\infty} w(\tau) e^{-i\omega \tau} d\tau \\ &= \sqrt{2\pi} \tilde{f}(\omega) \tilde{w}(\omega)\end{aligned}$$

Filtre idéal



Concepts de base.

Série de Fourier

Fourier Transform

DFT

Filtrage

Principes généraux

Fonction de filtrage

Réponse fréquentielle

Moyenne glissante

Cas discret

Moyenne glissante

Filtres bionomial

Filtre gaussien

Réponse fréquentielle

Convolution

Filtre idéal

Fenêtre de Hamming

Exemple

Fin

$$\tilde{W}_{ideal}(\omega) = \frac{1}{\sqrt{2\pi}} \begin{cases} 1 & \text{si } |\omega| < \omega_c \\ 0 & \text{si } |\omega| \geq \omega_c \end{cases}$$

$$\begin{aligned} W_{ideal}(t) &= \frac{1}{\sqrt{2\pi}} \int_{-\infty}^{\infty} \tilde{W}_{ideal}(\omega) e^{i\omega t} d\omega \\ &= \frac{1}{2\pi} \int_{-\omega_c}^{\omega_c} e^{i\omega t} d\omega \\ &= \frac{\sin \omega_c t}{\pi t} \end{aligned}$$

Cas discret :

$$W_{ideal,k} = W_{ideal}(k\Delta t) = \frac{\sin \omega_c k \Delta t}{\pi k \Delta t}, \quad k = 0, \pm 1, \pm 2, \dots$$

Fenêtre de Hamming



Concepts de base.

Série de Fourier

Fourier Transform

DFT

Filtrage

Principes généraux

Fonction de filtrage

Réponse fréquentielle

Moyenne glissante

Cas discret

Moyenne glissante

Filtres bionomial

Filtre gaussien

Réponse fréquentielle

Convolution

Filtre idéal

Fenêtre de Hamming

Exemple

Fin

Pour obtenir un filtre de longueur finie, tronquer progressivement la suite des poids idéaux... .

Fenêtre de Hamming (longueur $\ell = 2N + 1$)

$$h_k = 0.54 + 0.46 \cos \frac{\pi k}{N} \quad k = 0, \pm 1, \dots, \pm N$$

$$w_k = w_{ideal,k} \cdot h_k \quad k = 0, \pm 1, \dots, \pm N$$

+ normalisation.

‘Meilleur’ filtre discret de longueur ℓ

Exemple



Concepts de base.

Série de Fourier

Fourier Transform

DFT

Filtrage

Principes généraux

Fonction de filtrage

Réponse fréquentielle

Moyenne glissante
Cas discret

Moyenne glissante
Filtres bionomial

Filtre gaussien
Réponse fréquentielle

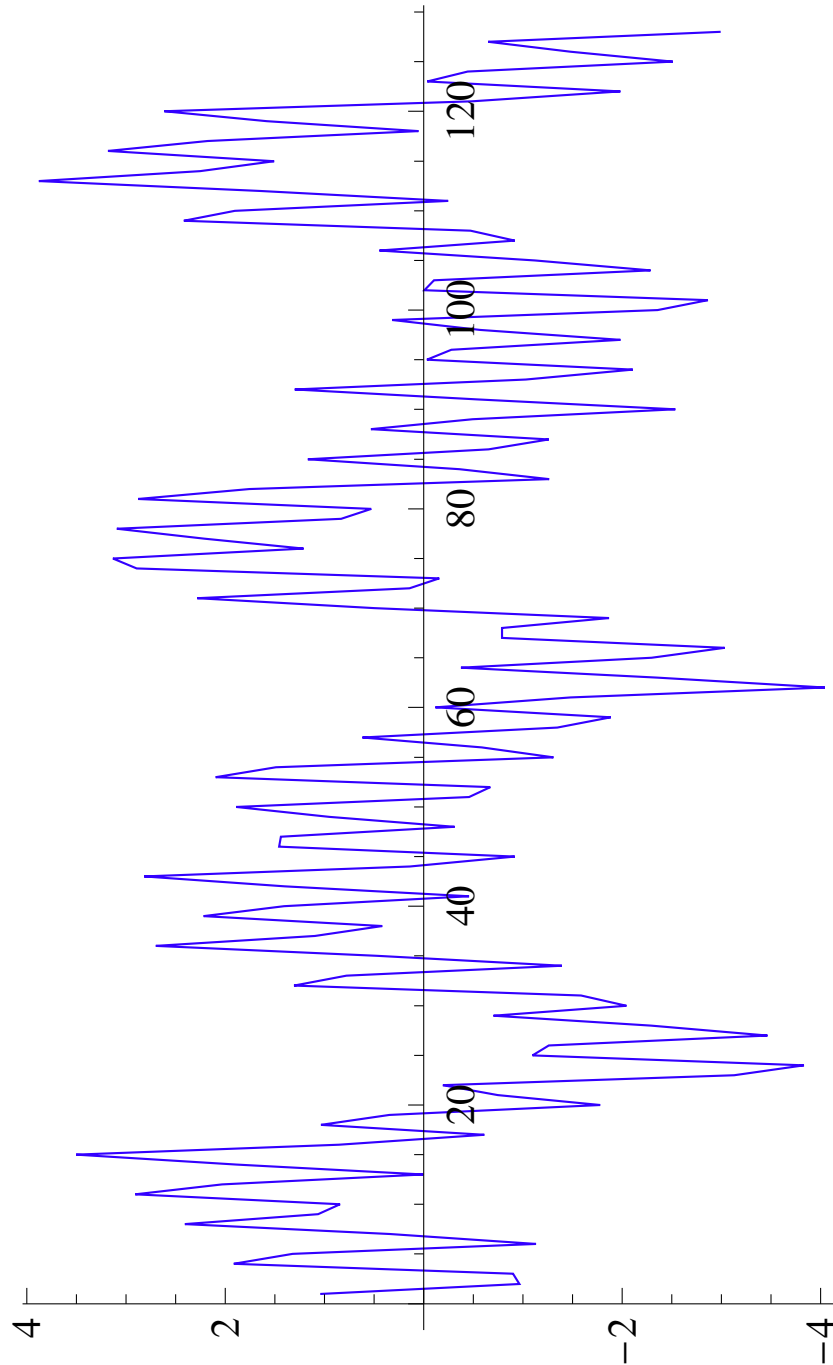
Convolution

Filtre idéal

Fenêtre de Hamming

Exemple

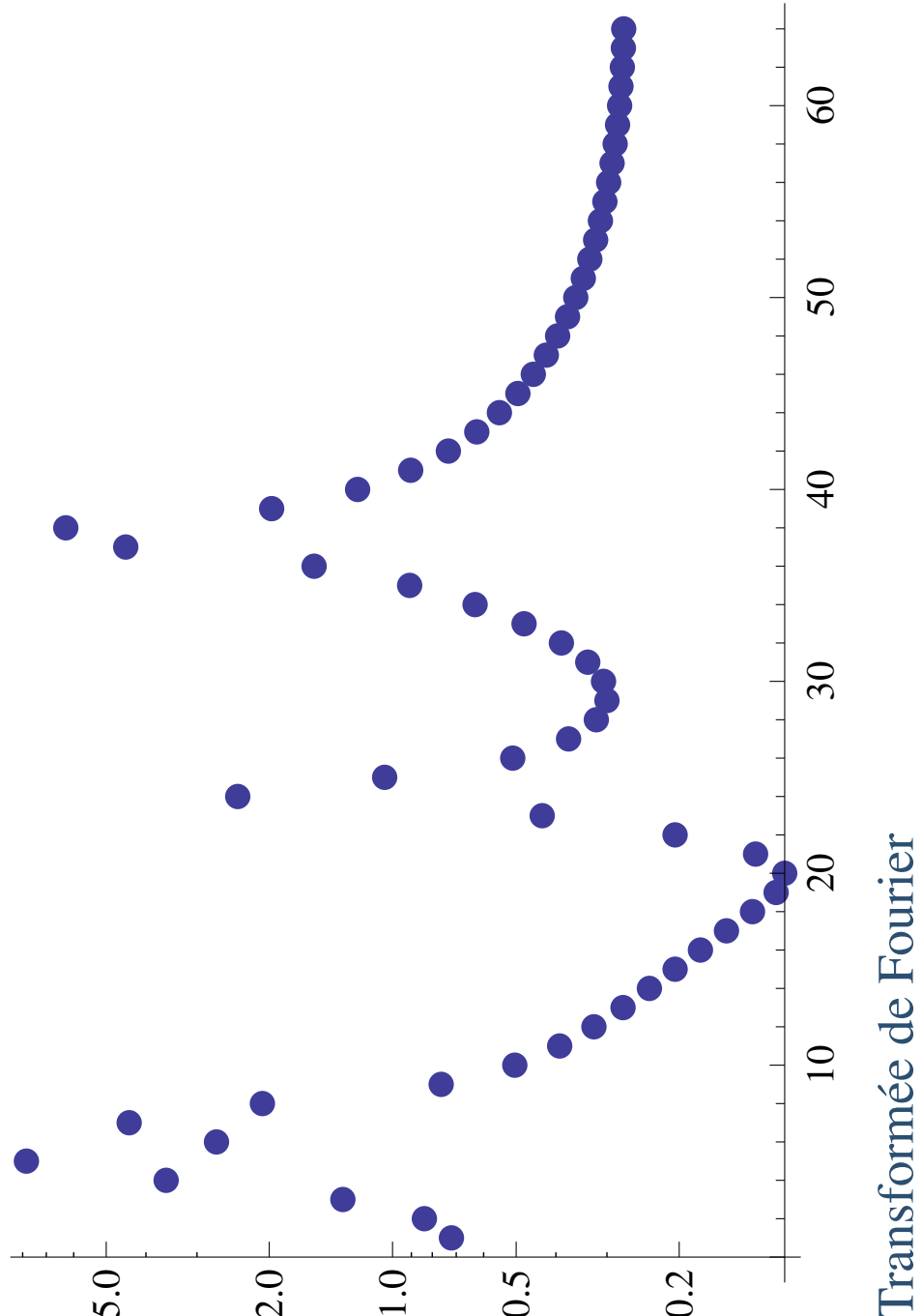
Fin



Série de données brutes (longueur = 128)

Exemple (suite)

Concepts de base.	
Série de Fourier	
Fourier Transform	
DFT	
Filtrage	
Principes généraux	
Fonction de filtrage	
Réponse fréquentielle	
Moyenne glissante	
Cas discret	
Moyenne glissante	
Filtres bionomial	
Filtre gaussien	
Réponse fréquentielle	
Convolution	
Filtre idéal	
Fenêtre de Hamming	
Exemple	
Fin	



Exemple (suite)



Concepts de base.

Série de Fourier

Fourier Transform

DFT

Filtrage

Principes généraux

Fonction de filtrage

Réponse fréquentielle

Moyenne glissante

Cas discret

Moyenne glissante

Filtres binomial

Filtre gaussien

Réponse fréquentielle

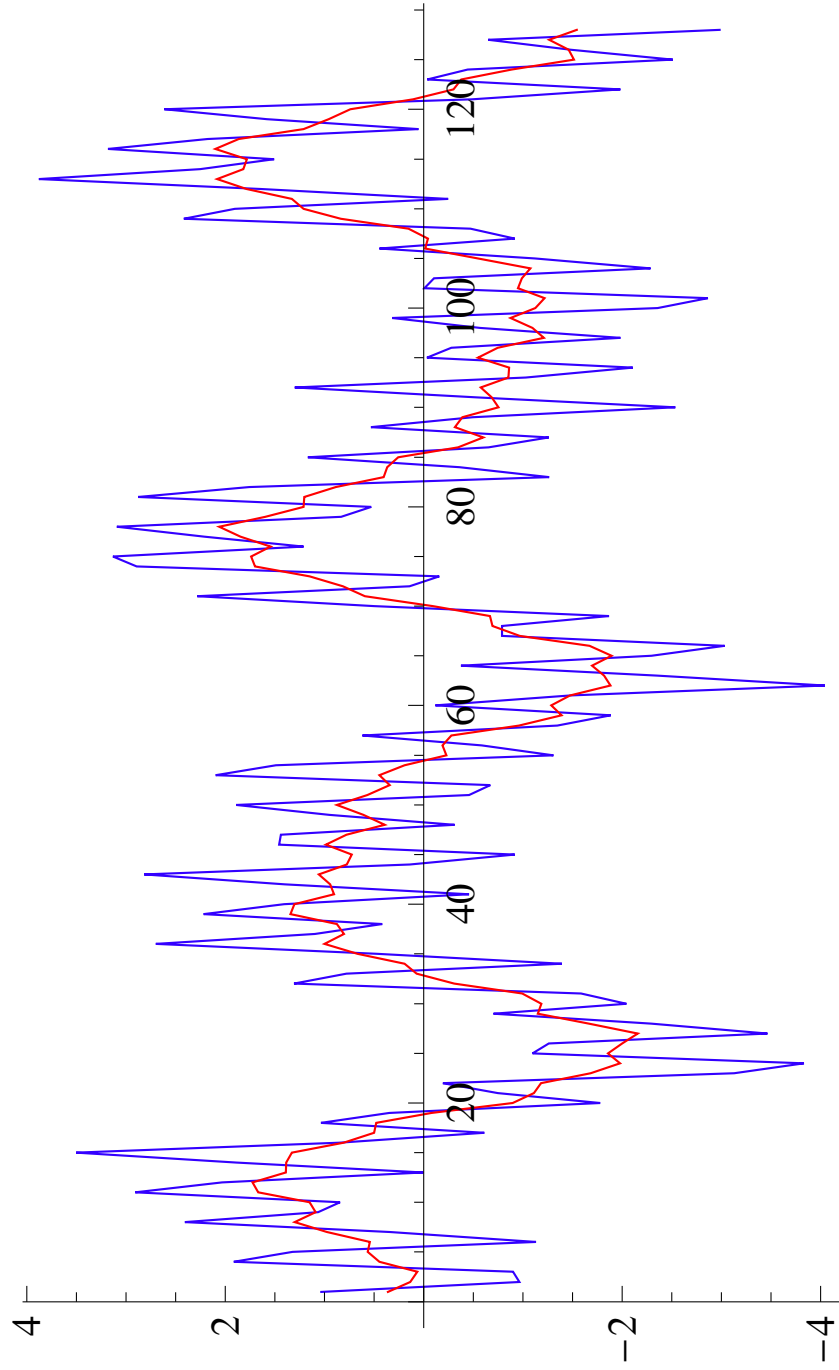
Convolution

Filtre idéal

Fenêtre de Hamming

Exemple

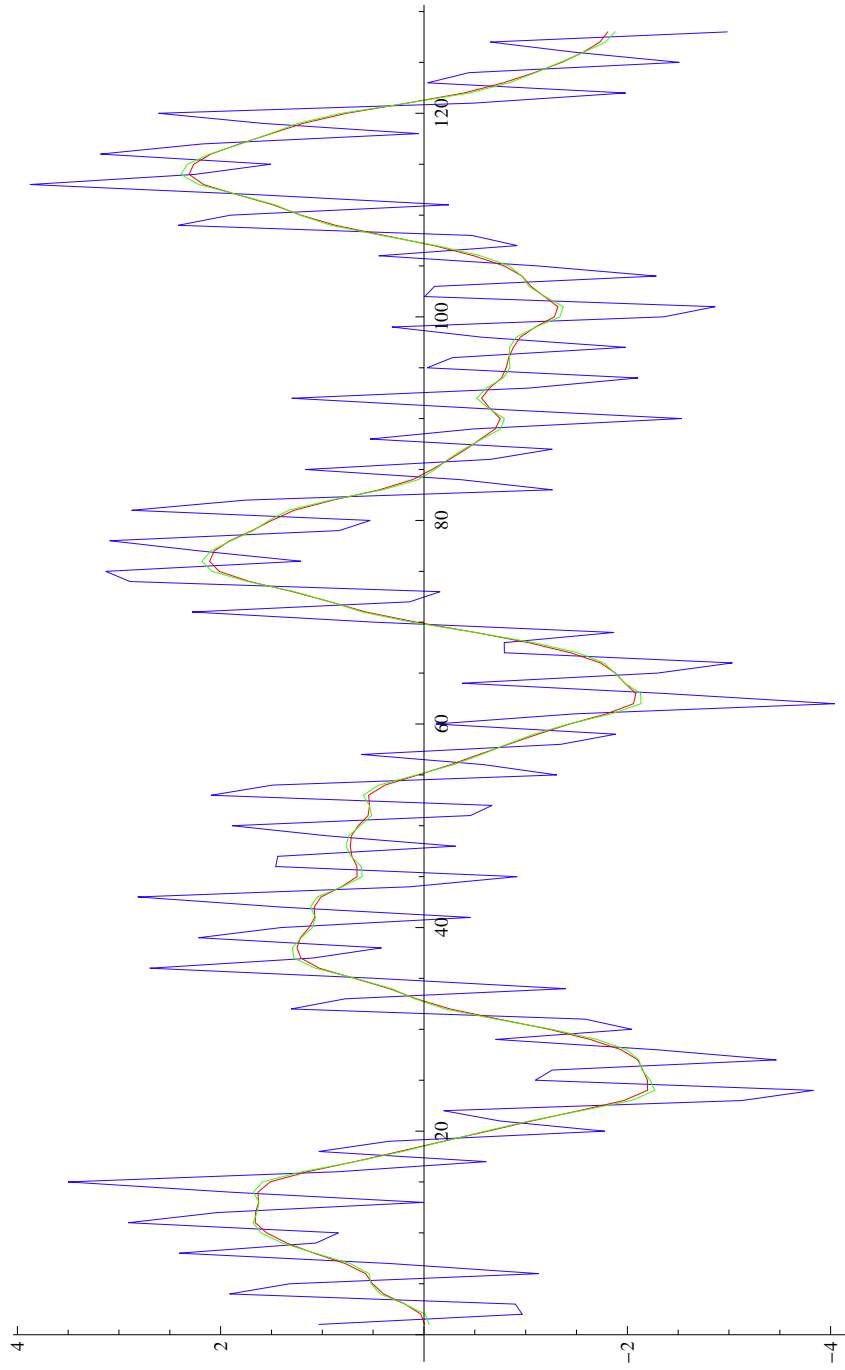
Fin



Moyenne glissante ($\ell = 9$)

Exemple (suite)

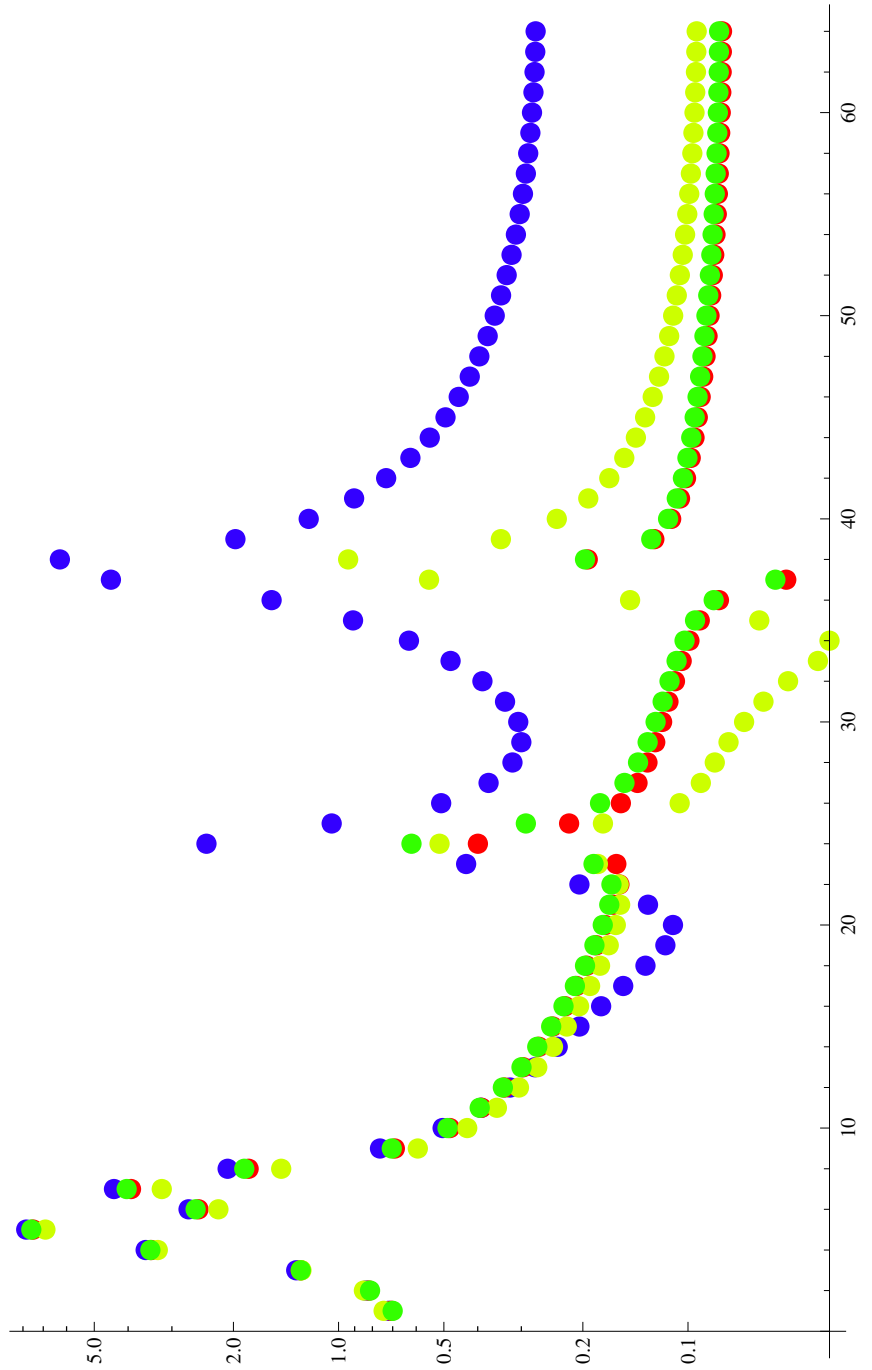
Concepts de base.	
Série de Fourier	
Fourier Transform	
DFT	
Filtrage	
Principes généraux	
Fonction de filtrage	
Réponse fréquentielle	
Moyenne glissante	
Cas discret	
Moyenne glissante	
Filtres binomial	
Filtre gaussien	
Réponse fréquentielle	
Convolution	
Filtre idéal	
Fenêtre de Hamming	
Exemple	
Fin	



Filtres gaussien (rouge) et idéal (vert) ($\ell = 9$).

Exemple (suite)

Concepts de base.	
Série de Fourier	
Fourier Transform	
DFT	
Filtrage	
Principes généraux	
Fonction de filtrage	
Réponse fréquentielle	
Moyenne glissante	
Cas discret	
Moyenne glissante	
Filtres binomial	
Filtre gaussien	
Réponse fréquentielle	
Convolution	
Filtre idéal	
Fenêtre de Hamming	
Exemple	
Fin	



FFT du signal brut (en bleu), de la moyenne glissante (en jaune), du filtre gaussien (en rouge) et du filtre idéal (en vert).

Fin

Concepts de base.

Série de Fourier

Fourier Transform

DFT

Filtrage

Fin

